

СОПРОТИВЛЕНИЕ СУЖАЮЩЕЙСЯ КОНИЧЕСКОЙ ПОЛОСТИ ПРЕССОВАНИЮ ПЛАСТИЧНОГО МАТЕРИАЛА В НАЧАЛЕ ДВИЖЕНИЯ

**Панов Е.И., Полищук В.Ю., Ханин В.П., Николенко Ю.В.
Оренбургский государственный университет, г. Оренбург**

Методами теории пластичности рассмотрено напряженное состояние в момент начала движения экструдированного полуфабриката в сужающейся конической полости без наложения ограничения на изменение предела текучести и коэффициента контактного трения в зависимости от напряженного состояния полуфабриката.

Формующие каналы штемпельных прессов для прессования брикетов из древесных опилок в местах перехода от камеры предварительного сжатия к прессующему цилиндрическому каналу имеют, как правило, конические полости. Входные конические полости являются обязательным элементом в фильерах пресс-грануляторов, вырабатывающих древесные пеллеты. Поэтому для определения технико-экономических параметров оборудования необходимо оценивать сопротивление сужающихся конических полостей экструдированию полуфабриката (древесных опилок).

Напряженное состояние полуфабриката при установившемся движении в канале фильеры отличается от его напряженного состояния в момент начала движения [1,2]. Будем полагать, что это различие сохраняется и для сужающейся конической полости.

Рассмотрим напряженное состояние полуфабриката, пластически деформируемого в сужающейся входной полости с произвольным углом конусности относительно цилиндрической системы координат (r, φ, z) с началом в точке вершины конуса, образующего полость.

Будем полагать, что нормальные осевые напряжения σ_z зависят только от координаты z . Сечение конической полости плоскостью, содержащей ось Oz показано на рисунке 1.

Выделим элементарный объем пространства двумя плоскостями, перпендикулярными оси Oz на расстоянии dz друг от друга и приложим к нему действующие нагрузки. Объемными силами в полуфабрикате будем пренебрегать по сравнению с поверхностными.

Как и ранее [3], будем полагать, что контактные напряжения сдвига τ определены законом Кулона, то есть зависят от нормального напряжения на контактной поверхности σ_n и не могут превосходить предельного напряжения сдвига τ_r , а коэффициент трения f_i принят постоянным на выбранном промежутке изменения нормальных напряжений

$$\tau = f_i \sigma_n, \text{ при } \sigma_{n(i-1)} \leq \sigma_n \leq \sigma_{ni}. \quad (1)$$

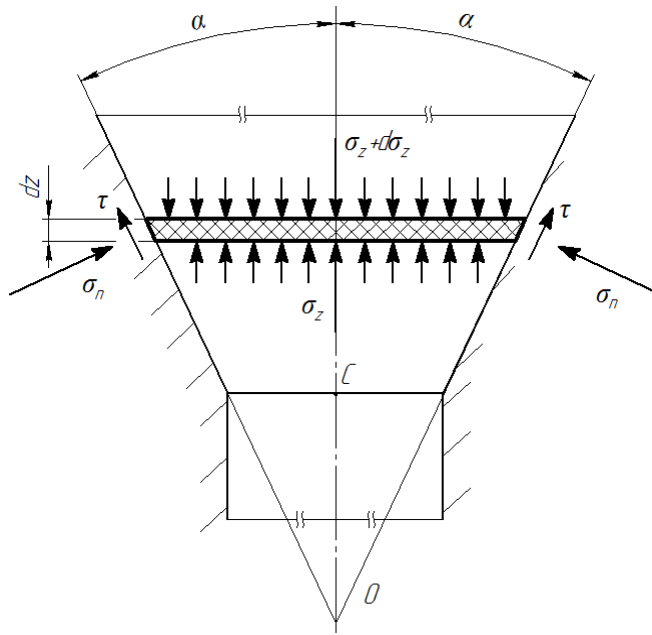


Рисунок 1 – Схема напряженного состояния системы конической сужающей полости цилиндрического канала.

Выделим сектор элементарного объема, заштрихованного на рисунке 1 двумя плоскостями, содержащими ось Oz , угол между которыми равен $d\varphi$ и рассмотрим его равновесие по оси Or . Это позволяет связать τ с нормальным радиальным напряжением σ_r ,

$$\tau = \frac{f_i}{1 - f_i \operatorname{tg} \alpha} \sigma_r = f'_i \sigma_r, \text{ при } \sigma_{r(i-1)} \leq \sigma_r \leq \sigma_{ri}, \quad (2)$$

где α – угол конуса полости;

f'_i – приведенный коэффициент трения.

Это также позволяет связать граничные значения нормальных напряжений

$$\sigma_{ri} = (1 - f_i \operatorname{tg} \alpha) \sigma_{ni}. \quad (3)$$

Применение условия равновесия выделенного элемента, на котором основаны зависимости (2) и (3) при больших значениях угла α ограничено, так как позволяет получать недопустимые значения напряжений.

Будем полагать как и ранее [3] на участке Кулонова трения справедливость соотношения между осевым нормальным напряжением σ_z радиальным нормальным напряжением σ_r и пределом текучести полуфабриката σ_T

$$\sigma_z - \sigma_r = \sigma_T. \quad (4)$$

А предел текучести полуфабриката является переменным и зависит от всестороннего напряжения сжатия, которым в данном случае является напряжение σ_z . Полигональная аппроксимация предела текучести полуфабриката имеет вид

$$\sigma_T = \sigma_{T(i-1)} + \delta_i [\sigma_r - \sigma_{r(i-1)}], \quad (5)$$

где

$$\delta_i = \frac{\sigma_{Ti} - \sigma_{T(i-1)}}{\sigma_{ri} - \sigma_{r(i-1)}}; \quad (6)$$

$\sigma_{T(i-1)}$ и σ_{Ti} – величина предела текучести соответственно в начале и конце i –го участка аппроксимации;

$\sigma_{r(i-1)}$ и σ_{ri} – напряжения сжатия соответственно в начале и конце i –го участка аппроксимации.

С учетом зависимостей (4) и (5) связь между напряжениями σ_r и σ_z имеет вид

$$\sigma_z = (1 + \delta_i)\sigma_r - \delta_i\sigma_{r(i-1)} + \sigma_{T(i-1)}. \quad (7)$$

Аналогичное представление коэффициента трения и предела текучести были использованы ранее для цилиндрического канала фильеры [2]

Следует обратить внимание на связь граничных значений участков аппроксимации

$$\sigma_{zi} = \sigma_{ri} + \sigma_{Ti}, \quad (8)$$

которая совместно с выражением (3) определяет значения всех нормальных напряжений и предела текучести на границах i –го участка аппроксимации. Номограмма, иллюстрирующая описанный алгоритм представлена на рисунке 2.

Дифференциальное уравнение напряженного состояния полуфабриката имеет вид [4]

$$\frac{d\sigma_z}{dz} - \frac{4\tau}{z \sin 2\alpha} + \frac{2(\sigma_z - \sigma_r)}{z} = 0. \quad (9)$$

Использование приведенных выше зависимостей позволяет получить из уравнения (9) уравнение с разделенными переменными

$$\frac{d\sigma_z}{A_i\sigma_z + B_i} = \frac{2dz}{z \sin 2\alpha}, \quad (10)$$

где

$$A_i = \frac{2f'_i + \delta_i \sin 2\alpha}{1 + \delta_i}; \quad (11)$$

$$B_i = (2f'_i + \delta_i \sin 2\alpha) \frac{\delta_i \sigma_{z(i-1)} - \sigma_{T(i-1)}}{1 + \delta_i} + \sigma_{T(i-1)} \sin 2\alpha. \quad (12)$$

Описание напряженного состояния в конической сужающейся полости начинается в точке C с координаты z_c , в которой действует осевое нормальное напряжение σ_{zc} . Будем считать, что это напряжение соответствует j –ому участку аппроксимации.

Интегрируя уравнение (10) при начальных условиях $z = z_c$ $\sigma_z = \sigma_{zc}$, получим распределение осевых нормальных напряжений на j –ом участке аппроксимации

$$\sigma_z = \frac{1}{A_j} \left\{ [A_j \sigma_{zc} + B_j] \left(\frac{z}{z_c} \right)^{\frac{2A_j}{\sin 2\alpha}} - B_j \right\}, \quad \sigma_{zc} \leq \sigma_z \leq \sigma_{zj}, \quad (13)$$

где

$$A_i = \frac{2f'_j + \delta_j \sin 2\alpha}{1 + \delta_j}; \quad (14)$$

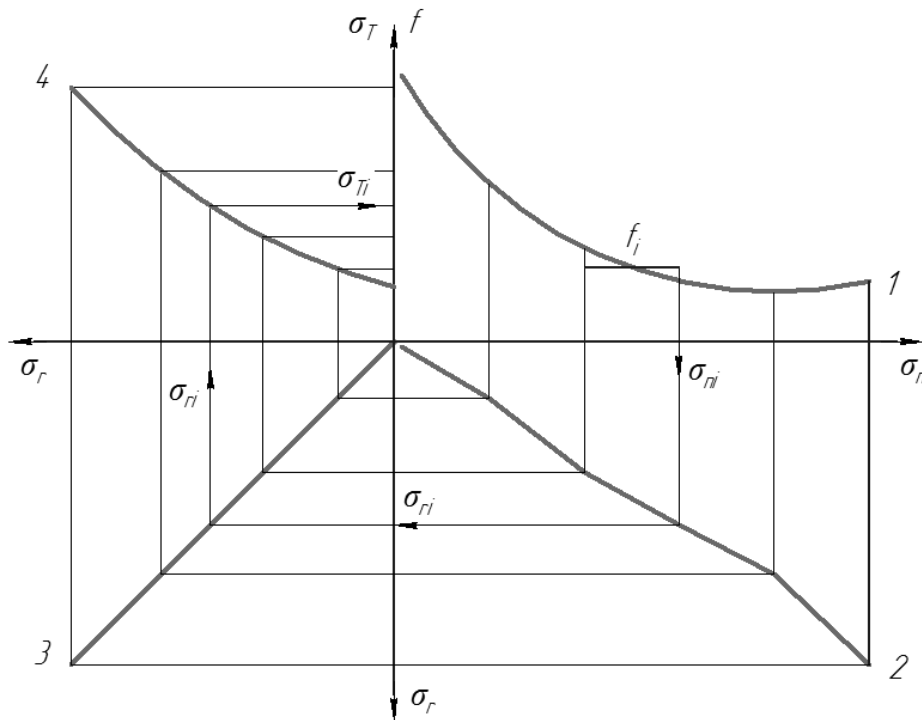


Рисунок 2 Номограмма для определения граничных значений нормальных напряжений с диаграммами зависимостей: 1 – $f = f(\sigma_n)$; 2 – $\sigma_r = f(\sigma_n)$; 3 – $\sigma_r = \sigma_r$; 4 – $\sigma_T = f(\sigma_r)$.

$$B_i = 2(2f'_i + \delta_i \sin 2\alpha) \frac{\delta_i \sigma_{z(i-1)} - \sigma_{T(i-1)}}{1 + \delta_i} + \sigma_{T(i-1)} \sin 2\alpha. \quad (15)$$

$$\delta_j = \frac{\sigma_{Tj} - \sigma_{Tc}}{\sigma_{rj} - \sigma_{rc}}; \quad (16)$$

σ_{Tc} – величина предела текучести в точке C;

σ_{zc} – величина напряжения сжатия в точке C.

Координата конической полости z_j , на которой заканчивается действие j -го участка аппроксимации определена выражением

$$z_j = z_c \left[\frac{A_j \sigma_{zj} + B_j}{A_j \sigma_{zc} + B_j} \right]^{\frac{\sin 2\alpha}{2A_j}}. \quad (17)$$

Интегрируя уравнение (10) на участке $z > z_j$ при начальных условиях $z = z_{i-1}$ $\sigma_z = \sigma_{z(i-1)}$, получим распределение осевых нормальных напряжений на i -ом участке аппроксимации

$$\sigma_z = \frac{1}{A_i} \left\{ \left[A_i \sigma_{z(i-1)} + B_i \right] \left(\frac{z}{z_{i-1}} \right)^{\frac{2A_i}{\sin 2\alpha}} - B_i \right\}, \quad \sigma_{z(i-1)} \leq \sigma_z \leq \sigma_{zi}. \quad (18)$$

Координата конической полости z_i , на которой заканчивается действие i -го участка аппроксимации определена выражением

$$z_i = z_{i-1} \left[\frac{A_i \sigma_{z_i} + B_i}{A_i \sigma_{z(i-1)} + B_i} \right]^{\frac{\sin 2\alpha}{2A_i}}. \quad (19)$$

На k – ом участке аппроксимации в поперечном сечении полости с осевой координатой z_b касательное контактное напряжение может достигнуть предельного напряжения сдвига

$$f'_k \sigma_{rb} = \tau_T. \quad (20)$$

Поскольку

$$\tau_T = \frac{\sigma_T}{\sqrt{3}}, \quad (21)$$

из условий (4), (20) и (21) имеем

$$\sigma_{zb} = \left(\frac{1 + \delta_k}{f'_k \sqrt{3} - \delta_k} + 1 \right) \left[\sigma_{T(k-1)} - \delta_k \sigma_{r(k-1)} \right], \quad \sigma_{z(k-1)} \leq \sigma_{zb} \leq \sigma_{zk}, \quad (22)$$

$$z_b = z_{k-1} \left[\frac{A_k \sigma_{zb} + B_k}{A_k \sigma_{z(k-1)} + B_k} \right]^{\frac{\sin 2\alpha}{2A_k}}. \quad (23)$$

При попадании полуфабриката в зону пластического контактного трения $\tau = \tau_T$ связь между нормальными напряжениями в полуфабрикате приобретает вид

$$\sigma_z - \sigma_r = 0. \quad (24)$$

Расчет напряжений для этого случая рассмотрен нами ранее [4].

Если точка b отсутствует по всей протяженности входной полости, расчет напряжений в ней проводится по зависимостям (18) и (19).

Таким образом, в настоящей статье изложен метод определения напряжений в полуфабрикате, экструдированном через сужающуюся коническую полость, в начале движения полуфабриката, который позволяет не накладывать ограничений на форму представления физико-механических свойств экструдированного полуфабриката.

Список литературы:

1. Полищук, В.Ю. Гранулирование комбикорма в цилиндрических каналах фильер при непрерывном режиме процесса прессования. / В.Ю. Полищук, А.Я. Соколов // Изв. вузов, Пищевая технология. – 1980. – № 1. – С. 67-71.
2. Полищук, В.Ю. Гранулирование комбикорма в фильерах при периодическом режиме прессования. / В.Ю. Полищук, А.Я. Соколов // Изв. вузов, Пищевая технология. – 1980. – № 6. – С. 97-100.
3. Полищук, В.Ю. Определение давления выпрессовывания в конических фильерах кольцевой матрицы пресса для гранулирования кормов. / В.Ю. Полищук // Изв. вузов, Пищевая технология. – 1976. – № 3. – С. 113-118.
4. Напряженное состояние пластичного полуфабриката при экструзии через сужающуюся коническую полость / Е.И. Панов, В.Ю.

Полищук, В. П. Ханин, Ю.В. Медведева // Вестник СамГУПС. – 2014. – № 1. С. 107-111.